

③ Corrections dues au nombre fini de particules

a - Expressions plus précises pour la densité d'états et le nombre de particules excitées.

- Là aussi, nous nous limitons pour simplifier à un piège isotrope. Si l'on prend pour zéro d'énergie l'énergie de l'état fondamental, les valeurs propres E_n des Hamiltoniens liés à 1 particule valent :

$$E_n = n \hbar \omega = (n_x + n_y + n_z) \hbar \omega \quad (5.1)$$

où n_x, n_y, n_z sont des entiers ≥ 0 .

- La dégénérence g_n de la valeur propre E_n est égale à

$$g_n = \frac{(n+1)(n+2)}{2} \quad (5.2)$$

En effet, n_x peut prendre $n+1$ valeurs : 0, 1, .. n. Pour chaque valeur de n_x , n_y peut prendre $n-n_x+1$ valeurs, variant de 0 à $n-n_x$, n_z étant alors fixé à la valeur $n-n_x-n_y$. On a donc

$$g_n = \sum_{n_x=0}^n (n-n_x+1) = \sum_{n'=0}^n (n'+1) = \sum_{n''=1}^{n+1} n'' = \frac{(n+1)(n+2)}{2} \quad (5.3)$$

- Si l'on remplace la fonction à variable discrète g_n par une densité d'états $\rho(E)$, fonction continue de l'énergie E , on obtient, en utilisant $E = n \hbar \omega$ et $\rho(E) dE = g_n dn$

$$\begin{aligned} \rho(E) &= \frac{dn}{dE} g_n = \frac{1}{\hbar \omega} \frac{(n+1)(n+2)}{2} \\ &= \frac{1}{2 \hbar \omega} \left[\frac{E}{\hbar \omega} + 1 \right] \left[\frac{E}{\hbar \omega} + 2 \right] = \frac{1}{2} \frac{E^2}{(\hbar \omega)^3} + \frac{3}{2} \frac{E}{(\hbar \omega)^2} + \frac{1}{\hbar \omega} \end{aligned} \quad (5.4)$$

Le 1^{er} terme du 2^{ème} membre de (5.4), $\frac{1}{2} \frac{E^2}{(\hbar \omega)^3}$, est celui déjà calculé en (4.14). Le 2^{ème} terme, $\frac{3}{2} \frac{E}{(\hbar \omega)^2}$, représente une correction dont nous allons maintenant calculer l'effet.

- Si l'on reporte ce terme correctif dans l'expression (4.15) de N_e (avec $\omega_1 = \omega_2 = \omega_3 = \omega$), on obtient une correction ΔN_e à N_e :

$$\Delta N_e = \frac{3}{2} \left(\frac{kT}{\hbar \omega} \right)^2 \sum_{\ell=1}^{\infty} \frac{z^\ell}{\ell^2} \underbrace{\int_0^\infty du u e^{-u}}_{= \Gamma(2) = 1} = \frac{3}{2} \left(\frac{kT}{\hbar \omega} \right)^2 g_2(z) \quad (5.5)$$

En regroupant (4.15) et (5.5), et en ajoutant la population $N_0 = \frac{z}{1-z}$ de l'état fondamental, on obtient une expression plus précise du nombre total N de particules

$$N = \frac{z}{1-z} + \left(\frac{kT}{\hbar \omega} \right)^3 g_3(z) + \frac{3}{2} \left(\frac{kT}{\hbar \omega} \right)^2 g_2(z) \quad (5.6)$$

Le dernier terme de (5.6), qui provient de (5.5), est plus petit que le second par un facteur $\hbar \omega / kT \ll 1$

V-2) b - Déplacement de la température critique T_c

- Définissons, de manière un peu arbitraire, T_c par la relation

$$T = T_c \iff N_{\epsilon}(z=1) = N \quad (5.7)$$
- Si l'on néglige le dernier terme de (5.6), N_{ϵ} se réduit au 2^{ème} terme de (5.6) et on obtient une valeur $T_c^{(0)}$ de la température critique égale, d'après (4.18), à

$$k T_c^{(0)} = \hbar \omega \left[\frac{N}{g_3(1)} \right]^{1/3} \quad (5.8)$$
- La prise en compte du dernier terme de (5.6) introduit une correction $\Delta T_c = T_c - T_c^{(0)}$. Un calcul perturbatif simple de ΔT_c donne, à partir de (5.6) et (5.8)

$$k T_c = k T_c^{(0)} - \frac{1}{2} \frac{g_2(1)}{g_3(1)} \hbar \omega \quad (5.9)$$

c'est à dire encore, compte tenu de (5.8)

$$\frac{T_c}{T_c^{(0)}} = 1 - \frac{1}{2} \frac{g_2(1)}{[g_3(1)]^{2/3}} \frac{1}{N^{1/3}} = 1 - 0.727 \frac{1}{N^{1/3}} \quad (5.10)$$

Le fait que N soit fini entraîne donc une diminution de la température critique. Par exemple, pour $N = 1000$, l'abaissement relatif de T_c est de l'ordre de 7%.

c - Comparaison avec des calculs numériques.

- La simplicité du spectre énergétique d'un oscillateur harmonique isotrope permet d'obtenir des expressions comparées et exactes. Partons de

$$\overline{N}_j = \frac{ze^{-\beta \epsilon_j}}{1-ze^{-\beta \epsilon_j}} = \sum_{l=1}^{\infty} z^l e^{-\beta l \epsilon_j} \quad (5.11)$$

avec $\epsilon_j = (n_x + n_y + n_z) \hbar \omega$ (5.12)

On obtient

$$\sum_j \overline{N}_j = \sum_{n_x} \sum_{n_y} \sum_{n_z} \sum_{l=1}^{\infty} z^l e^{-\beta l(n_x+n_y+n_z) \hbar \omega} \quad (5.13)$$

Par ailleurs,

$$\sum_{n_x} \sum_{n_y} \sum_{n_z} e^{-\beta l(n_x+n_y+n_z) \hbar \omega} = \left[\sum_{n=0}^{\infty} e^{-\beta ln \hbar \omega} \right]^3 = \left[\frac{1}{1-e^{-\beta l \hbar \omega}} \right]^3 \quad (5.14)$$

de sorte que

$$\sum_j \overline{N}_j = N = \sum_{l=1}^{\infty} z^l \left(\frac{1}{1-\kappa^l} \right)^3 \quad (5.15)$$

avec $\kappa = e^{-\hbar \omega / kT}$ (5.16)

- Pour chaque valeur de T , donc de κ , on peut à partir de (5.15) calculer numériquement à partir de la série (5.15) la courbe donnant N en fonction de z . Si l'on se donne N , on peut alors déterminer la valeur correspondante de z , et donc celle de $N_0 = \frac{z}{1-z}$. On peut ainsi tracer point par point la courbe $N_0/N = f(T/T_c)$ où

$T_c^{(0)}$ est donné par (5.8)

- La figure 1, extraite de la référence 11 donne les résultats d'un tel calcul

La courbe en traits pleins correspond à $N = 100$, la courbe en tirets courts à $N = 1000$, la courbe en tirets longs à $N = 10^4$, la courbe en pointillés à $N = \infty$. La figure inférieure est un agrandissement de la région $T \approx T_c^{(0)}$.

Il apparaît très clairement que le fait d'avoir un nombre fini N de particules "arrondit" les variations de N_0/N au voisinage de $T/T_c^{(0)} = 1$ et déplace les courbes vers la gauche.

C'est uniquement à la limite thermodynamique $N \rightarrow \infty$, lorsque la formule (4.21) est valable, que N_0/N croît brutalement à partir de 0 quand $T/T_c^{(0)}$ devient inférieur à 1.

Remarque : La formule (5.15) se généralise aisément au cas d'un piège harmonique anisotrope. On obtient :

$$\sum_j N_j = N = \sum_{\ell=1}^{\infty} z^\ell \prod_{i=1,2,3} \frac{1}{1 - (K_i)^\ell} \quad (5.17)$$

où $K_i = e^{-\hbar \omega_i / kT}$ $i = 1, 2, 3$ (5.18)

- Il est possible aussi d'étudier numériquement la variations de C avec T pour des valeurs finies de N . La figure 2, extraite de la référence 14 montre les résultats d'une telle étude pour un piège harmonique anisotrope

Fig. 2 (extraite de 14)

Variations de C/Nk en fonction de T/T_c

Les 2 courbes en traits pleins correspondent à des valeurs finies de N

$N = 2000$ (courbe de gauche)

$N = 20000$ (courbe de droite)

La courbe en traits tirets correspond à la limite $N \rightarrow \infty$

Il ressort de cette étude que la discontinuité de C en $T = T_c$ n'apparaît qu'à la limite thermodynamique. Pour N fini, C est continue, mais varie de plus en plus rapidement au voisinage de T_c quand N croît.

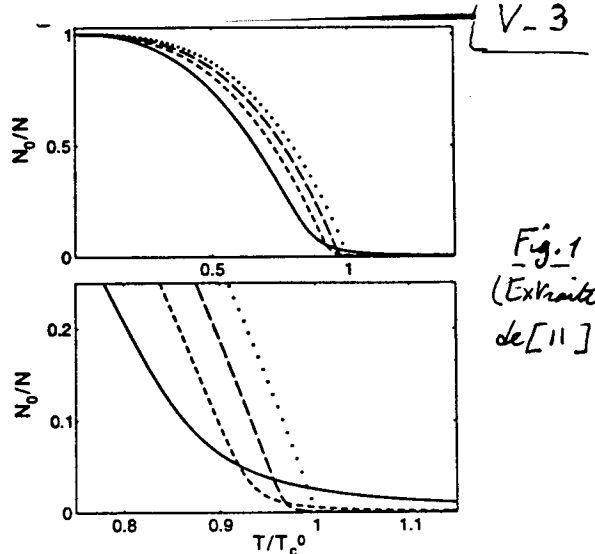


Fig. 1
(Extraite de [11])

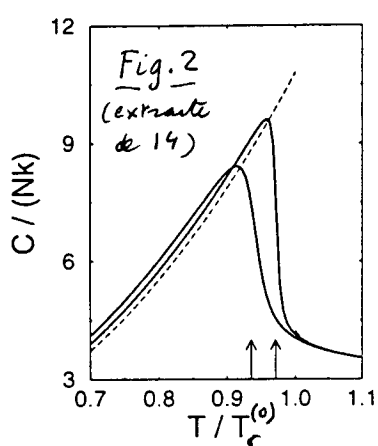


Fig. 2
(extraite de 14)

V-4]

④ Problèmes de dimension inférieure à 3

a - Piège harmonique à 2 dimensions

- les calculs sont très analogues à ceux faits dans le § 2 pour un piège harmonique à 3 dimensions. Nous ne les détaillerons pas et donnons simplement les résultats en nous limitant à un piège isotrope.

Dégénérescence des niveaux d'énergie - Densité d'états

$$E_n = n \hbar \omega \quad n = n_x + n_y \quad (5.19)$$

$$\text{Dégénérescence } g_n \text{ de } E_n \quad g_n = n+1 \quad (5.20)$$

$$\text{Densité d'états } \rho(E) \quad (\text{terme prépondérant}) \quad \rho(E) = \frac{E}{(\hbar \omega)^2} \quad (5.21)$$

Nombre de particules excitées N_e et condensées N_0

$$\begin{aligned} \bullet \quad N_e &= \left(\frac{kT}{\hbar \omega} \right)^2 \int_0^\infty dx x \frac{ze^{-x}}{1-ze^{-x}} = \left(\frac{kT}{\hbar \omega} \right)^2 \sum_{\ell=1}^{\infty} \frac{z^\ell}{\ell^2} \underbrace{\int_0^\infty du u e^{-u}}_{\Gamma(2)=1} \\ &= \left(\frac{kT}{\hbar \omega} \right)^2 g_2(z) \end{aligned} \quad (5.22)$$

$$\bullet \quad g_2(1) = 1.465 \text{ en fini}$$

$$\bullet \quad \text{Température critique } T_c \quad N = \left(\frac{kT_c}{\hbar \omega} \right)^2 g_2(1) \quad (5.23)$$

$$\bullet \quad \text{Pour } T \leq T_c \quad N = N_0 + \left(\frac{kT}{\hbar \omega} \right)^2 g_2(1) \quad (5.24)$$

$$\quad \quad \quad = N_0 + \left(\frac{T}{T_c} \right)^2 N$$

$$\bullet \quad \frac{N_0}{N} = 1 - \left(\frac{T}{T_c} \right)^2 \quad (5.25)$$

$$\bullet \quad \text{Pour } T > T_c \quad N = \left(\frac{kT}{\hbar \omega} \right)^2 g_2(z) \quad (5.26)$$

Log Z_G

$$\text{Log } Z_G = - \text{Log}(1-z) + \left(\frac{kT}{\hbar \omega} \right)^2 g_3(z) \quad (5.27)$$

Energie U

$$U = 2kT \left(\frac{kT}{\hbar \omega} \right)^2 g_3(z) \quad (5.28)$$

$$T \leq T_c \quad U = 2NkT \left(\frac{T}{T_c} \right)^2 \frac{g_3(1)}{g_2(1)} \quad (5.29)$$

$$T > T_c \quad U = 2NkT \frac{g_3(z)}{g_2(z)} \quad (5.30)$$

$$T \gg T_c \quad U = 2NkT \quad (5.31)$$

Chaleur spécifique

[V-5]

$$T < T_c \quad C = GNk \left(\frac{T}{T_c} \right)^2 \frac{g_3(1)}{g_2(1)} \quad (5.32)$$

$$T > T_c \quad C = 2Nk \left[3 \frac{g_3(2)}{g_2(2)} - 2 \frac{g_2(2)}{g_1(2)} \right] \quad (5.33)$$

Quand T tend vers T_c par valeurs supérieures, z tend vers 1. Comme $g_1(1)$ est infini, le deuxième terme du crochet de (5.33) tend vers 0. On trouve alors que C tend vers la même limite, $GNk \frac{g_3(1)}{g_2(1)}$, que T tende vers T_c par valeur supérieure ou inférieure. C'est donc continu en $T = T_c$.

Conclusion : On trouve des résultats très analogues au cas du piège 3D. La seule différence importante est le comportement de C au voisinage de T_c : C est discontinue pour le piège 3D, continue pour le piège 2D.

Notons enfin que la limite thermodynamique correspond ici à $N \rightarrow \infty$, $\omega \rightarrow 0$ avec $N\omega^2 = \text{cte}$ pour avoir la densité au centre du piège thermique $\frac{N}{(\Delta\omega_T)^2} \propto N\omega^2$ constante. On vérifie alors sur (5.23) que T_c ne tend pas vers 0 dans une telle limite.

Comment réaliser concrètement un piège harmonique 2D ?

On part d'un piège 3D très anisotrope avec

$$\omega_3 \gg \omega_1 = \omega_2 \quad (5.34)$$

et on se place à température T suffisamment basse pour que

$$kT \ll \hbar\omega_3 \quad (5.35)$$

le degré de liberté correspondant à ω_3 est alors gelé.

Il faut bien sûr vérifier ensuite que la température critique T_c correspondant à la condensation 2D vérifie bien (5.35).

b. Piège harmonique à 1 dimension

Nous allons voir que, dans ce cas, T_c s'annule à la limite thermodynamique $N \rightarrow \infty$, $\omega \rightarrow 0$ avec $N\omega = \text{cte}$.

Densité d'états $\rho(\epsilon)$

Les valeurs propres, $E_n = n\hbar\omega$ avec $n = 0, 1, 2, \dots$, sont non dégénérées et un calcul simple donne pour $\rho(\epsilon)$

$$\rho(\epsilon) = \frac{1}{\hbar\omega} \quad (5.36)$$

$\rho(\epsilon)$ est constant et ne dépend pas de ϵ .

Nombre de particules excitées N_e et condensées N_0

$$N_e = \frac{kT}{\hbar\omega} \int_{x_{\min} = \frac{E_{\min}}{kT}}^{\infty} dx \frac{ze^{-x}}{1-ze^{-x}} \quad (5.37)$$

On ne peut plus maintenant prendre égale à 0 la borne inférieure de l'intégrale, ce qui est possible quand l'intégrale converge et que $\int_{x_{\min}}^{\infty}$ donne une contribution négligeable. On voit en effet sur (5.37) que l'intégrale diverge logarithmiquement à sa borne inférieure quand $z = 1$.

Comme $p(\varepsilon)$ n'est plus nul sur $\varepsilon = 0$, il faut commencer l'intégrale à une valeur non nulle de ε (ou de $x = \varepsilon/kT$) pour ne tenir compte que des états excités. Comme l'énergie du 1^{er} état excité est $\hbar\omega$, correspondant à $x_1 = \hbar\omega/kT$, on pourrait prendre $x_{\min} = x_1$. En fait, d'autres manières plus précises d'évaluer la somme discrète et de la remplacer par une intégrale, montrent qu'on obtient une meilleure approximation de la somme discrète en prenant dans (5.37) $x_{\min} = \hbar\omega/2kT$ (voir références 11 et 15). De toutes façons, la divergence à la borne inférieure n'étant que logarithmique, les résultats obtenus sont peu sensibles à la valeur exacte de la borne inférieure, pourvu que cette borne soit supérieure à 0. On obtient ainsi

$$\begin{aligned} N_e &= \frac{kT}{\hbar\omega} \int_{\frac{\hbar\omega}{2kT}}^{\infty} dx \frac{ze^{-x}}{1-ze^{-x}} = \frac{kT}{\hbar\omega} \sum_{l=1}^{\infty} z^l \int_{\frac{\hbar\omega}{2kT}}^{\infty} dx e^{-lx} \\ &= \frac{kT}{\hbar\omega} \sum_{l=1}^{\infty} \frac{(ze^{-\hbar\omega/2kT})^l}{l} = -\frac{kT}{\hbar\omega} \log \left[1 - ze^{-\frac{\hbar\omega}{2kT}} \right] \end{aligned} \quad (5.38)$$

Température critique

Nous prenons toujours la définition (5.7), ce qui donne :

$$N = -\frac{kT_c}{\hbar\omega} \log \left[1 - e^{-\frac{\hbar\omega}{2kT_c}} \right] \quad (5.39)$$

Comme $\hbar\omega \ll kT_c$, on peut développer $1 - e^{-\hbar\omega/2kT_c}$, ce qui conduit à la relation

$$N = \frac{kT_c}{\hbar\omega} \log \frac{2kT_c}{\hbar\omega} \quad (5.40)$$

Nombre de particules condensées

Pour $T < T_c$, on a toujours $z \approx 1$, et $N_e = \frac{kT}{\hbar\omega} \log \frac{2kT}{\hbar\omega}$ n'est plus égal à N . L'excès de particules se condense dans l'état fondamental, ce qui donne

$$N = N_0 + \frac{kT}{\hbar\omega} \log \frac{2kT}{\hbar\omega} \quad (5.41)$$

En combinant (5.40) et (5.41), on obtient

$$\frac{N_0}{N} = 1 - \frac{T}{T_c} \frac{\log(2kT/k\omega)}{\log(2kT_c/k\omega)} \quad (5.42)$$

Evolution des phénomènes pour des valeurs croissantes de N

- La figure 3, extraite de [11], donne la courbe $\frac{N_0}{N} = f(\frac{T}{T_c})$ pour diverses valeurs de N : $N = 10^2, 10^4, 10^8, \infty$

On voit que l'établissement d'une population macroscopique N_0 au voisinage de $T = T_c$ est d'autant plus brutal que N est grand. Les variations de N_0/T avec T/T_c sont alors quasi-linéaires.

- La figure 4 de la référence (15) montre, pour une valeur donnée de N , la comparaison entre les résultats d'un calcul numérique exact de la somme discrète sur les intervalles de l'oscillateur harmonique et diverses approximations de cette somme discrète : celle consistant à la remplacer par une intégrale avec $x_{\min} = \hbar\omega/2kT$ comme borne inférieure ; celle consistant à utiliser la formule de Euler-MacLaurin pour évaluer une somme discrète.

$$\sum_{n=a}^b f(n) = \int_a^b f(x) dx + \frac{1}{2}[f(b) + f(a)] + \frac{1}{12}[f'(b) - f'(a)] + \dots \quad (5.43)$$

On constate que l'approximation utilisée dans (5.38) est très bonne et que celle consistant à partir de (5.43) (en gardant les 3 termes du 2^{me} membre) est encore meilleure.

Limite thermodynamique

- Comme $kT_c \gg \hbar\omega$ et que $\log u \ll u$ si $u \gg 1$, on peut approximer (5.40) par $N = (kT_c/\hbar\omega) \log 2N$, ce qui donne

$$\frac{kT_c}{\hbar\omega} \approx \frac{N}{\log N} \rightarrow kT_c \approx \frac{N\hbar\omega}{\log N} \quad (5.44)$$

- On voit que, dans la limite $N \rightarrow \infty, \omega \rightarrow 0$ avec $N\omega = c^2$, la présence de $\log N$ au dénominateur de (5.44) entraîne que $T_c \rightarrow 0$.
- En fait, les expériences sont réalisées avec N fini.

On voit sur la figure 3 que pour N suffisamment grand, une population macroscopique peut apparaître dans l'état fondamental de manière assez brutale. Les expériences récentes sur les atomes donnent donc un intérêt à toute une série de problèmes de statistiques quantiques avec un nombre fini de particules.

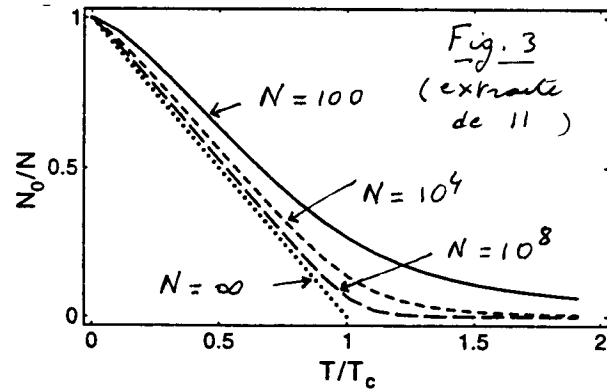


Fig. 3
(extraite de 11)

Boîtes à 2 dimensions

- Considérons de nouveau des bosons sans interactions dans une boîte. Mais nous considérons maintenant une boîte 2D : carré de côté L , de surface $S = L^2$, avec des conditions aux limites périodiques
- On calcule aisément la densité d'états $\rho(E)$ et on trouve que c'est une constante, indépendante de E . Les calculs sont donc très voisins de ceux faits plus haut pour un piège harmonique 1D. Il l'équivalent de (5.40) est

$$N = 2 \left[\frac{L}{\lambda_{dB}(T_c)} \right]^2 \log \frac{L}{\lambda_{dB}(T_c)} \quad (5.45)$$

Comme $L \gg \lambda_{dB}$, on peut remplacer $\log [L/\lambda_{dB}(T_c)]$ par $\frac{1}{2} \log N$ ce qui montre que $\left[\frac{1}{\lambda_{dB}(T_c)} \right]^2$ est proportionnel à $\frac{N}{L^2 \log N}$ et tend donc vers 0 quand $N \rightarrow \infty$, $L \rightarrow \infty$ avec $N/L^2 = C^2$. Il en est de même de T_c . Il n'y a donc pas de condensation de Bose Einstein dans une boîte 2D à la limite thermodynamique.

Références (suite des pages (I-11), (II-10))

- 9 - S.R. de Groot, G.J. Hooymans and C.A. ten Seldam, Proc. Roy. Soc. London, A 203, 266 (1950)
 - 10 - V. Bagnato, D.E. Pritchard and D. Kleppner, Phys. Rev. A 35, 4354 (1987)
V. Bagnato and D. Kleppner, Phys. Rev. A 44, 7439 (1991)
 - 11 - W. Ketterle and N.J. van Druten, Phys. Rev. A 54, 656 (1996)
 - 12 - R. Masut and W.J. Mullin, Am. J. Phys. 47, 433 (1979)
 - 13 - W.J. Mullin, J. Low. Temp. Phys. 106, 615 (1997)
 - 14 - S. Grossmann and M. Holthaus, Phys. Lett. A 208, 188 (1995)
 - 15 - T. Haugset, H. Hangerud and J.O. Andersen, Phys. Rev. A 55, 2922 (1997)
 - 16 - H. Hangerud, T. Haugset and F. Ravndal, Phys. Lett. A 225, 18 (1997)
 - 17 - N.J. van Druten and W. Ketterle, Phys. Rev. Lett. 79, 549 (1997)
- Cette dernière référence contient une étude intéressante sur une possibilité de condensation en 2 étapes dans un piège harmonique 3D très anisotrope.